

Застосування одного з методів теорії потенціалу до дослідження статичного деформування складених конічних оболонок

С. А. Левчук

Запорізький національний університет, Запоріжжя, Україна

kpmf.mf@znu.edu.ua

Розглянуто задачу про статичне деформування складених конічних оболонок. Розв'язок побудовано з використанням методів теорії потенціалу. Досліджуване тіло розглядалося як складена конструкція, до якої входить декілька конічних оболонок. Сформульовано умови з'єднання оболонок у складеній конструкції. Побудовано матрицю типу Гріна для розглянутої задачі. Досліджено залежність основних характеристик напруженого стану складеної конічної оболонки від кутів конусності.

Ключові слова: складена конічна оболонка, теорія потенціалу, напружено-деформований стан, матриця типу Гріна.

Як елементи складених технічних конструкцій нерідко використовують конічні оболонки, жорстко з'єднані між собою або з елементами іншого типу. Прикладом подібної конструкції може бути сільфон, який являє собою циліндричну посудину з нанесеними по поверхні поперечними гофрами (рис. 1). Сільфон, виготовлений з пружного матеріалу, здатен під дією осьових сил помітно видовжуватися при порівняно малих згинальних напруженнях. Ця властивість сільфонів має досить велике значення при їх використанні у техніці. Сільфони застосовуються як пружні компенсатори монтажних і експлуатаційних зміщень у системі трубопроводів, як чутливі елементи датчиків тиску в приладобудуванні і т.п.

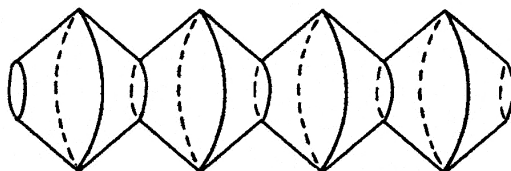


Рис. 1. Складене тіло з конічних оболонок.

Деякі способи розрахунку статичного деформування гофрованих мембран із різними формами гофрування і сільфонів описано в [1]. При цьому використовувався, зокрема, метод Андрєєвої, оснований на введенні коефіцієнтів анізотропії мембрани при розтязі і вигині в коловому і радіальному напрямках і розрахунку гофрованої мембрани як анізотропної пластини. Сільфон розглядався як система кільцевих пластин, зв'язаних попарно по зовнішньому і внутрішньому контурах поверхні.

У роботах [2, 3] висвітлювалися деякі питання розрахунку деформування складених конічних оболонок. Наприклад, у [2] розглядалися теорія і методи розв'язання задач статички тонких багат шарових оболонок обертання довільного обрису при нерівномірних силових і температурних впливах. Як приклад наведено результати розрахунку елементів таких об'єктів: пружна система, складена з конічної, тороїдальної і двох циліндричних оболонок; з'єднання конічних оболонок із розривом. За допомогою методу скінченних елементів у [3] було досліджено напружено-деформо-

ваний стан складених конічних і циліндричних оболонок обертання під дією симетричних навантажень, при цьому для вісесиметричної конічної оболонки використано аналітичний розв'язок у функціях Бесселя. У роботі [4] для розрахунку концентрації пружних напружень у зоні сполучення конуса і циліндра застосовано комбінацію методу скінченних елементів і теорії оболонок. Для розрахунку оболонкових конструкцій складної геометрії у [5] запропоновано використовувати розвиток сплайнового варіанта методу скінченних елементів із залученням тривимірних викривлених елементів.

У даній роботі задачу розрахунку напружено-деформованого стану складених конічних тіл розглянуто з точки зору теорії тонких оболонок Власова [6]. Деякі окремі випадки цієї задачі розглядалися в [7].

Систему диференціальних рівнянь, що описує статичне деформування конічної оболонки в переміщеннях, згідно із загальною моментною теорією тонких оболонок Власова [6, 8] можна записати наступним чином (у вісесиметричному випадку):

$$\begin{aligned} \nabla^2 U - \frac{\sin^2 \gamma}{B^2} U + \frac{\sigma \cos \gamma}{B} \frac{dW}{dx} - \frac{\sin \gamma \cos \gamma}{B^2} W &= \frac{\sigma^2 - 1}{Eh} q_x; \\ \frac{\sigma \cos \gamma}{B} \frac{dU}{dx} + \frac{\sin \gamma \cos \gamma}{B^2} U + \frac{\cos^2 \gamma}{B^2} W + \frac{h^2}{12} \nabla^2 \left[\nabla^2 + \frac{\cos^2 \gamma}{B^2} \right] W &= \frac{1 - \sigma^2}{Eh} q_z, \end{aligned} \quad (1)$$

де $W = W(x)$, $U = U(x)$ і $q_x = q_x(x)$, $q_z = q_z(x)$ – складові векторів переміщень та інтенсивності поверхневого навантаження відповідно; h – товщина оболонки; σ , E – коефіцієнт Пуассона і модуль Юнга; ∇^2 – оператор Лапласа, $\nabla^2 = \frac{\sin \gamma}{B} \frac{d}{dx} + \frac{d^2}{dx^2}$; $B = R + x \sin \gamma$; γ – кут конусності; R – відстань від осі обертання до краю конічної оболонки (рис. 2).

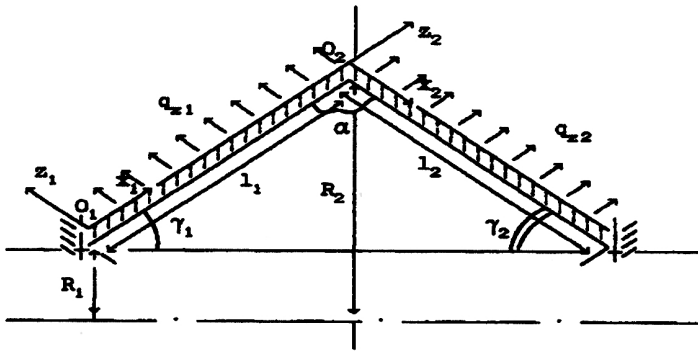


Рис. 2. Переріз двох з'єднаних конічних оболонок.

Вирази для внутрішніх зусиль і моментів мають такий вигляд [9]:

$$\begin{aligned} N(x) &= \frac{Eh}{1 - \sigma^2} \left(\frac{dU}{dx} + \frac{\sigma \sin \gamma}{B} U + \frac{\sigma \cos \gamma}{B} W \right); & M(x) &= -D \left(\frac{d^2 W}{dx^2} + \frac{\sigma \sin \gamma}{B} \frac{dW}{dx} \right); \\ Q(x) &= -D \frac{d}{dx} \nabla^2 W = -D \left(-\frac{\sin^2 \gamma}{B^2} \frac{dW}{dx} + \frac{\sin \gamma}{B} \frac{d^2 W}{dx^2} + \frac{d^3 W}{dx^3} \right), \end{aligned} \quad (2)$$

де N – нормальне зусилля; Q – поперечна сила; M – згинальний момент; D – циліндрична жорсткість, $12D(1-\sigma^2) = Eh^3$.

Якщо розглянути жорстке послідовне з'єднання n конічних оболонок під деяким кутом α при затисненні зовнішніх країв (рис. 2), то додаткові умови набудуть такого вигляду:

$$\begin{cases} U_1(0) = 0; & \bar{U}_i(l_i) + \bar{W}_i(l_i) = \bar{U}_{i+1}(0) + \bar{W}_{i+1}(0); \\ W_1(0) = 0; & \bar{N}_i(l_i) + \bar{Q}_i(l_i) = \bar{N}_{i+1}(0) + \bar{Q}_{i+1}(0); \\ \frac{dW_1}{dx_1}(0) = 0; & \frac{dW_i}{dx_i}(l_i) = \frac{dW_{i+1}}{dx_{i+1}}(0); & U_n(l_n) = 0; \\ M_i(l_i) = M_{i+1}(0); & W_n(l_n) = 0; & \frac{dW_n}{dx_n}(l_n) = 0, \end{cases} \quad (3)$$

де l_i , $i = 1, 2, \dots, n-1$ – довжини конічних оболонок, індексом позначено номер конічної секції, рискою зверху – відповідні вектори.

Запишемо векторні рівності з умов (3) у скалярному вигляді:

$$\begin{aligned} U_i(l_i) &= (-1)^{i+1} W_{i+1}(0) \sin \alpha - U_{i+1}(0) \cos \alpha; \\ W_i(l_i) &= (-1)^i U_{i+1}(0) \sin \alpha - W_{i+1}(0) \cos \alpha; \\ N_i(l_i) &= (-1)^i Q_{i+1}(0) \sin \alpha - N_{i+1}(0) \cos \alpha; \\ Q_i(l_i) &= (-1)^{i+1} N_{i+1}(0) \sin \alpha - Q_{i+1}(0) \cos \alpha. \end{aligned} \quad (4)$$

У результаті одержимо $6n$ додаткових умов для визначення такої ж кількості довільних сталих при інтегруванні системи (1), що записана для кожної з n конічних оболонок.

Подальший розв'язок системи (1) будемо здійснювати шляхом редукції до ряду задач Коші. При цьому спосіб розв'язання є наступний.

Запишемо систему диференціальних рівнянь (1) у нормальному вигляді:

$$\frac{d\bar{Y}}{dx} = \bar{F}, \quad (5)$$

де

$$\bar{Y}^T = (U, U1, W, W1, W2, W3); \quad \bar{F}^T = (U1, f_1, W1, W2, W3, f_2);$$

$$f_1 = \frac{\sigma^2 - 1}{Eh} q_x - \frac{\sin \gamma}{B} U1 + \frac{\sin^2 \gamma}{B^2} U - \frac{\sigma \cos \gamma}{B} W1 + \frac{\sin \gamma \cos \gamma}{B^2} W;$$

$$\begin{aligned} f_2 = \frac{12}{h^2} & \left(\frac{1 - \sigma^2}{Eh} q_z - \frac{\sigma \cos \gamma}{B} U1 - \frac{\sin \gamma \cos \gamma}{B^2} U - \frac{\cos^2 \gamma}{B^2} W \right) - \\ & - \frac{2 \sin \gamma}{B} W3 + \frac{\sin^2 \gamma}{B^2} W2 + \frac{2 \sin^4 \gamma + \sin^3 \gamma}{B^3} W1; \end{aligned}$$

$U1, W1, W2, W3$ – допоміжні функції, а саме: просторові похідні по x від відповідних змінних; цифрою після літери позначено порядок похідної.

Варіанти початкових умов

№ варіанта	Функція					
	$U(0)$	$U1(0)$	$W(0)$	$W1(0)$	$W2(0)$	$W3(0)$
1	1	0	0	0	0	0
2	0	1	0	0	0	0
3	0	0	1	0	0	0
4	0	0	0	1	0	0
5	0	0	0	0	1	0
6	0	0	0	0	0	1

Далі розглянемо задачі Коші для нормальної системи диференціальних рівнянь для наступних варіантів початкових умов (таблиця).

При цьому необхідно покласти $q_x(x) = q_z(x) = 0$. Після розв’язання (5) одним із чисельних методів (наприклад, методом Рунге-Кутта) одержимо фундаментальні розв’язки для системи (1) у дискретному вигляді, які позначимо через $U^{(i)}(x)$, $W^{(i)}(x)$, $i = 1, 2, \dots, 6$.

Тоді загальний розв’язок системи (1) запишемо так:

$$U(x) = \sum_{i=1}^6 C_i(x)U^{(i)}(x); \quad W(x) = \sum_{i=1}^6 C_i(x)W^{(i)}(x). \quad (6)$$

Далі задачу будемо розв’язувати методом варіації довільних сталих, при цьому отримаємо залежності також у дискретному вигляді:

$$U(x) = \sum_{i=1}^6 \bar{C}_i(x)U^{(i)}(x) + \int_0^x \chi_{11}(x, \xi)q_x(\xi)d\xi + \int_0^x \chi_{12}(x, \xi)q_z(\xi)d\xi; \quad (7)$$

$$W(x) = \sum_{i=1}^6 \bar{C}_i(x)W^{(i)}(x) + \int_0^x \chi_{21}(x, \xi)q_x(\xi)d\xi + \int_0^x \chi_{22}(x, \xi)q_z(\xi)d\xi,$$

де $\chi_{ij}(x, \xi)$, $i, j = 1, 2$ визначаються через детермінант і відповідні мінори системи лінійних алгебраїчних рівнянь відносно невідомих dC_i/dx , яка отримана при використанні методу варіації довільних сталих.

Описана розрахункова схема застосовується для кожної з n конічних оболонок, які входять у досліджуване складене тіло.

Константи \bar{C}_i , $i = 1, 2, \dots, 6n$ визначаються з умов (3). Підставимо залежності (7), записані для кожної з n конічних оболонок, у (2), а отримані вирази – у (3) і матимемо систему лінійних алгебраїчних рівнянь для визначення констант \bar{C}_i . Розв’яжемо дану систему матричним методом і підставимо \bar{C}_i у (7). У результаті отримаємо остаточний розв’язок задач (1), (3):

$$\bar{V}_k(x_k) = \sum_{\nu=1}^n \int_0^{l_\nu} G_\nu(x_k, \xi)\bar{F}_\nu(\xi)d\xi, \quad (8)$$

де

$$\bar{V}_k(x_k) = (U_k(x_k)W_k(x_k))^T; \quad \bar{F}_v(\xi) = (q_{vx}(\xi)q_{vz}(\xi))^T;$$

$$G_v(x_k, \xi) = (G_v^{ij})_{ij=1,2}^2, \quad k = 1, 2, \dots, n;$$

$G_v(x_k, \xi)$ – побудовані матриці типу Гріна для даної задачі; у цьому випадку мова йде фактично про чисельну апроксимацію таких матриць, оскільки вони отримані у дискретному вигляді.

Викладений метод розрахунку нижче ілюструється деякими чисельними результатами, що описують напружений стан представленого вище об'єкта, складеного з двох послідовно з'єднаних секцій, в залежності від кутів конусності конічних оболонок (рис. 3). При розрахунках було прийнято: $q_{zi}/E_i = 0,5 \cdot 10^{-6}$; $\sigma_i = 0,25$; $h_i/l_i = 1/60$; $h_i/R_i = 1/30$ ($R_2 = R_1 + l_1 \sin \gamma_1$), $i = 1, 2$.

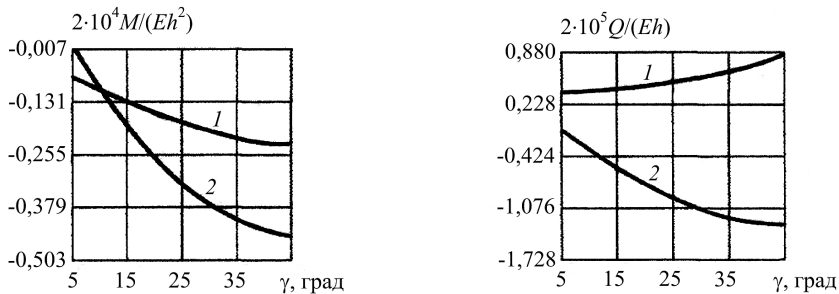


Рис. 3. Основні характеристики напруженого стану складеної конічної оболонки на кінцях конструкції (крива 1) і в місці з'єднання секцій (крива 2).

Аналіз основних характеристик напруженого стану, таких як згинальний момент $M(x)$ і поперечна сила $Q(x)$ (рис. 3), показує, що вони як на кінцях складеного тіла, так і в місці з'єднання оболонок зростають за модулем при збільшенні кутів конусності конічних секцій, що входять до складеної конструкції. Причому в місці з'єднання оболонок згинальний момент і поперечна сила зростають (за модулем) більш швидко, ніж на кінцях конструкції.

Резюме

Рассмотрена задача о статическом деформировании составных конических оболочек. Решение построено с использованием методов теории потенциала. Исследуемое тело рассматривалось как составная конструкция, включающая некоторое количество конических оболочек. Сформулированы условия соединения оболочек в составной конструкции. Построена матрица типа Грина для указанной задачи. Исследована зависимость основных характеристик напряженного состояния составной конической оболочки от углов конусности.

1. Пономарев С. Д., Бидерман В. Л., Лихарев К. К. Расчеты на прочность в машиностроении. – М., 1958. – Т. 2. – 975 с.
2. Григоренко Я. М. Изотропные и анизотропные слоистые оболочки вращения переменной жесткости. – Киев: Наук. думка, 1973. – 228 с.
3. Barinka L. L. and Jennings R. L. A numerical and substructuring analysis for discontinuous thin shells of revolution // Trans. of 4th Int. Conf. on Structural Mechanics in Reactor Technology (Aug. 15–19, San Francisco, California, 1977). – Amsterdam, 1977. – М 3/3.

4. *Skopinsky V. N.* Stress concentration in cone–cylinder intersection // *Int. J. Press. Vess. Piping.* – 2001. – **78**, No. 1. – P. 35 – 41.
5. *Якунов Н. М., Хисамов Р. З.* Моделирование сложных оболочечных систем // *Механика оболочек и пластин.* – Н. Новгород: Изд-во ННГУ, 1999. – С. 203 – 205.
6. *Власов В. З.* Избранные труды. В 3 т. – М.: Изд-во АН СССР, 1962. – Т. 1. – 528 с.
7. *Левчук С. А.* Дослідження залежності основних характеристик напруженого стану складених конічних оболонок від кутів конусності за допомогою методів теорії потенціалу // *Вісн. Запорізьк. держ. ун-ту. Фізико-математичні науки.* – 2004. – № 2. – С. 56 – 60.
8. *Гавеля С. П.* Метод построения матриц типа Грина для составных оболочек // *Докл. АН УССР. Сер. А.* – 1981. – № 9. – С. 12 – 17.
9. *Биргер И. А., Пановко Я. Г.* Прочность, устойчивость, колебания. В 3 т. – М.: Машиностроение, 1968. – Т. 1. – 832 с.

Поступила 29. 03. 2013